

# Paralelní implementace fuzzy filtrů ve zpracování obrazu na GPU

Ladislav Horký

FJFI ČVUT v Praze

Vedoucí práce: Ing. Tomáš Oberhuber Ph.D.

Konzultant: doc. Ing. Jaromír Kukul Ph.D.

2. února 2012

# Obsah

- 1 Úvod
- 2 Fuzzy Logika
  - Obraz ve fuzzy logice
- 3 GPU
  - Implementace
  - Algoritmy
- 4 Výsledky
  - Ukázky
- 5 Závěr

# Cíle práce

- Seznámit se se základy fuzzy filtrů pro zpracování obrazu
- Seznámit se s programovacím prostředím CUDA
- Implementace vybraných algoritmů filtrace na CPU
- Provést paralelizaci algoritmů a implementaci na GPU
- Porovnat urychlení vůči CPU při použití různých datových typů
- Aplikovat algoritmy na reálná 3D obrazová data

# Proč fuzzy?

## Výhody

- Solidní teoretický základ pro analýzu filtrů, postavený na Łukasiewiczově algebře s odmocninou
- Matematický model je přímo aplikovatelný na data, tak jak jsou reprezentována v počítači
- Specializovaná na robustní odšumovací filtry
- Redukce na jednoduché matematické operace
- Možnost návrhu a analýzy sítí filtrů

## Nevýhody

- Několik oblíbených filtrů zde nelze implementovat (Gauss)

# Proč fuzzy?

## Výhody

- Solidní teoretický základ pro analýzu filtrů, postavený na Łukasiewiczově algebře s odmocninou
- **Matematický model je přímo aplikovatelný na data, tak jak jsou reprezentována v počítači**
- Specializovaná na robustní odšumovací filtry
- Redukce na jednoduché matematické operace
- Možnost návrhu a analýzy sítí filtrů

## Nevýhody

- Několik oblíbených filtrů zde nelze implementovat (Gauss)

# Łukasiewiczova algebra s odmocninou

## Definice

Nechť  $\mathbf{L} = [0, 1]$  a  $a, b \in \mathbf{L}$ . Nechť  $\langle \mathbf{L}, \wedge, \vee, \otimes, \rightarrow, 0, 1 \rangle$ , kde

$$a \wedge b = \min(a, b) \qquad a \otimes b = \max(a + b - 1, 0)$$

$$a \vee b = \max(a, b) \qquad a \rightarrow b = \min(1 - a + b, 1)$$

je **reziduovaný svaz s Łukasiewiczovou t-normou**  $\otimes$ , s největším prvkem 1 a nejmenším prvkem 0, pak  $\langle \mathbf{L}, \wedge, \vee, \otimes, \rightarrow, \text{sqrt}, 0, 1 \rangle$ , kde

$$\text{sqrt}(a) = (1 + a)/2$$

je **Łukasiewiczova algebra s odmocninou**. Značíme  $\mathbf{L}A_{\text{sqrt}}$ .

# Łukasiewiczova algebra s odmocninou

## Definice

Nechť  $\mathbf{L} = [0, 1]$  a  $a, b \in \mathbf{L}$ . Nechť  $\langle \mathbf{L}, \wedge, \vee, \otimes, \rightarrow, 0, 1 \rangle$ , kde

$$a \wedge b = \min(a, b) \qquad a \otimes b = \max(a + b - 1, 0)$$

$$a \vee b = \max(a, b) \qquad a \rightarrow b = \min(1 - a + b, 1)$$

je **reziduovaný svaz s Łukasiewiczovou t-normou**  $\otimes$ , s největším prvkem 1 a nejmenším prvkem 0, pak  $\langle \mathbf{L}, \wedge, \vee, \otimes, \rightarrow, \text{sqrt}, 0, 1 \rangle$ , kde

$$\text{sqrt}(a) = (1 + a)/2$$

je **Łukasiewiczova algebra s odmocninou**. Značíme  $\mathbf{L}A_{\text{sqrt}}$ .

# Łukasiewiczova algebra s odmocninou

## Definice

Nechť  $\mathbf{L} = [0, 1]$  a  $a, b \in \mathbf{L}$ . Nechť  $\langle \mathbf{L}, \wedge, \vee, \otimes, \rightarrow, 0, 1 \rangle$ , kde

$$a \wedge b = \min(a, b) \qquad a \otimes b = \max(a + b - 1, 0)$$

$$a \vee b = \max(a, b) \qquad a \rightarrow b = \min(1 - a + b, 1)$$

je **reziduovaný svaz s Łukasiewiczovou t-normou**  $\otimes$ , s největším prvkem 1 a nejmenším prvkem 0, pak  $\langle \mathbf{L}, \wedge, \vee, \otimes, \rightarrow, \text{sqrt}, 0, 1 \rangle$ , kde

$$\text{sqrt}(a) = (1 + a)/2$$

je **Łukasiewiczova algebra s odmocninou**. Značíme  $\mathbf{L}A_{\text{sqrt}}$ .



# Łukasiewiczova algebra s odmocninou

## Definice

Nechť  $\mathbf{L} = [0, 1]$  a  $a, b \in \mathbf{L}$ . Nechť  $\langle \mathbf{L}, \wedge, \vee, \otimes, \rightarrow, 0, 1 \rangle$ , kde

$$a \wedge b = \min(a, b) \qquad a \otimes b = \max(a + b - 1, 0)$$

$$a \vee b = \max(a, b) \qquad a \rightarrow b = \min(1 - a + b, 1)$$

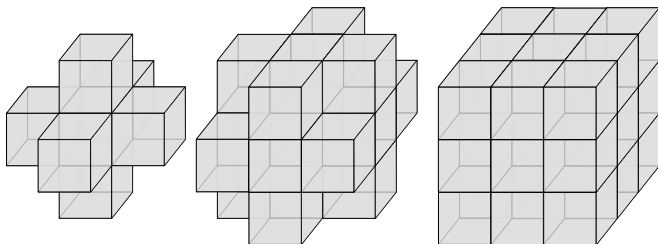
je **reziduovaný svaz s Łukasiewiczovou t-normou**  $\otimes$ , s největším prvkem 1 a nejmenším prvkem 0, pak  $\langle \mathbf{L}, \wedge, \vee, \otimes, \rightarrow, \text{sqrt}, 0, 1 \rangle$ , kde

$$\text{sqrt}(a) = (1 + a)/2$$

je **Łukasiewiczova algebra s odmocninou**. Značíme  $\mathbf{L}A_{\text{sqrt}}$ .

# Práce s 3D obrazem

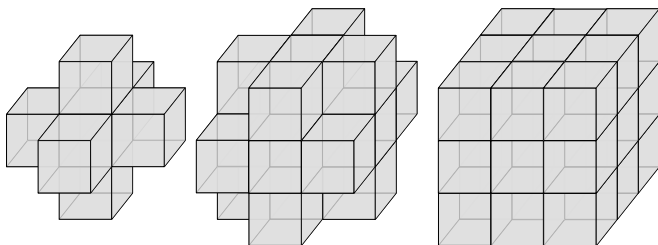
- Pouze jednobarevné obrazy (odstíny šedi)
- Hodnota výstupního voxelu je funkcí pouze voxelů ze sousedství (definovaného tzv. strukturním elementem) zdrojového voxelu
- Tvar strukturního elementu má velký vliv na výsledek
- Z použití sousedství voxelu plynou problémy s okraji obrázku



Obrázek: Tradiční strukturní elementy

# Práce s 3D obrazem

- Pouze jednobarevné obrazy (odstíny šedi)
- **Hodnota výstupního voxelu je funkcí pouze voxelů ze sousedství (definovaného tzv. strukturním elementem) zdrojového voxelu**
- Tvar strukturního elementu má velký vliv na výsledek
- Z použití sousedství voxelu plynou problémy s okraji obrázku



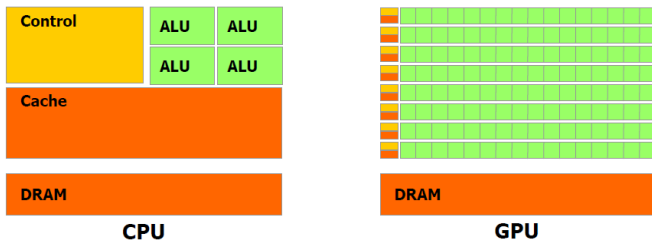
Obrázek: Tradiční strukturní elementy

# Filtry

Roztřídění filtrů z implementačního hlediska:

- Pomocné, algebraické (sčítání, prahování)
- Morfologické (eroze, dilatace, hrany)
- Odšumovací využívající seřazené pole (median, BES)
  - Založené na průměrování využívající Walshův seznam (H.L. median, WBES)

# Rozdíly CPU a GPU



Obrázek: Rozdíly v architektuře

# Hlavní rozdíly v programování

## CPU

- Velké odstupňované cache
- Chytrý hardware
- V případě více jader plnohodnotný MIMD
- Cacheování instrukcí, branch-prediction

## GPU

- Hrubé odstupňování paměti
- Manuální, ale větší kontrola nad HW
- Přísná pravidla pro přístup do paměti
- Pouze chytřejší, po částech vektorový procesor
- Výpočet je paralelní, pouze pokud 32 současně běžících vláken vykonává stejný kód

# Implementační postřehy pro GPU

Implementace na starší kartě 8800 GTX:

- Překrývání latencí paměti - masivní paralelismus
- Šetření rychlou sdílenou pamětí
- Lepší je hloupější, ale nevětvící se program
- Využití manuální texturové cache
- U odšumovacích filtrů se problém redukoval na nalezení vhodného třídícího algoritmu

# Selekční algoritmy

Pro malá pole bylo GPU použito **Zapomnětlivé třídění**:

- Spotřeba jen polovičního množství rychlé paměti, než je velikost tříděného pole (3/4 u BES)
- Větvení programu je minimální pro jakýkoliv vstup
- Lepší rozvrstvení přístupů do pomalé globální paměti pro vstupní data
- Náročnost  $\mathcal{O}(n^2)$

Pro velká pole byl použit „hloupý“  $\mathcal{O}(n^2)$  algoritmus založený na zjištění počtu prvků větších a menších, než zkoumaný prvek.

Na CPU byl použit optimalizovaný **Introselect**.



# Testovací sestava

	CPU	GPU
Název	Intel Core 2 DUO	NVIDIA GeForce 8800 GTX
Výpočetní jednotky	2 (využita 1)	128 (4 SM × 32 CUDA-jader)
Frekvence	1860 MHz	1400 MHz
Výpočetní schopnost	—	1.0
Cache	2 MB L2	—
RAM/DRAM	2 GB DDR2	768 MB GDDR3
FSB	800 MHz	1800 MHz

Testovací data: 3D SPECT obraz 79x95x69 voxelů

# Urychlení morfologických filtrů

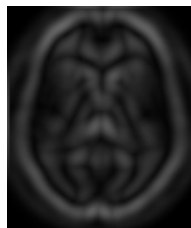
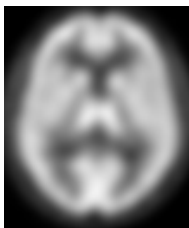
Maska → Filtr ↓	kapacita masky: 26 GPU (ms)	Urychlení	kapacita masky: 18 GPU (ms)	Urychlení
unsigned char (0-255)				
Eroze	1,47	<b>30,2</b>	1,34	<b>24,0</b>
Dilatace	1,47	<b>30,3</b>	1,37	<b>23,8</b>
Hrany	1,56	<b>51,8</b>	1,35	<b>43,2</b>
unsigned int (0-65535)				
Eroze	1,61	<b>31,0</b>	1,37	<b>26,9</b>
Dilatace	1,62	<b>30,9</b>	1,37	<b>27,1</b>
Hrany	1,53	<b>51,4</b>	1,32	<b>43,5</b>

# Urychlení morfologických filtrů

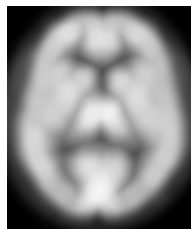
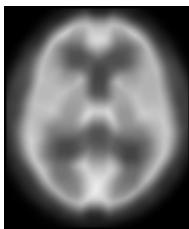
Maska →	kapacita masky: 26		kapacita masky: 18	
Filtr ↓	GPU (ms)	Urychlení	GPU (ms)	Urychlení
	unsigned char (0-255)			
Medián	9,45	<b>33,9</b>	3,62	<b>58,3</b>
BES	10,17	<b>37,1</b>	4,98	<b>53,1</b>
H-L Medián	735,76	<b>4,3</b>	342,34	<b>4,9</b>
WBES	1124,46	<b>4,2</b>	463,81	<b>5,4</b>
	unsigned int (0-65535)			
Medián	25,24	<b>12,4</b>	5,96	<b>34,6</b>
BES	10,95	<b>35,6</b>	6,45	<b>42,5</b>
H-L Medián	1327,99	<b>2,3</b>	434,21	<b>3,8</b>
WBES	1328,10	<b>3,6</b>	520,38	<b>4,9</b>

# Ukázky morfologických filtrů

Originál      Hrany



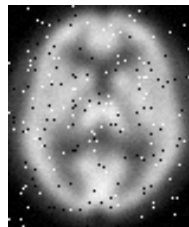
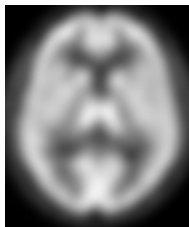
Eroze      Dilatace



# Ukázka BES

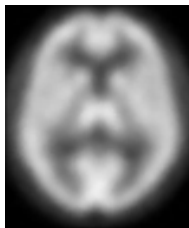
Originál

kontaminace 5%  
šum  $\sigma = 5/256$



Výsledek  
BES

Rozdíl od  
originálu



# Závěr

- Fuzzy logika se pro popis filtrů výborně osvědčila
- Lze odhadovat, kterým směrem se bude ubírat vývoj GPU
- Třídění (selekce) malých polí jako zajímavý problém pro GPU
- Některé filtry se podařilo zrychlit na jednotky ms, což je předpoklad pro použití v reálném čase

**Děkuji za pozornost.**

# Dotaz oponenta I

Jakého zrychlení by bylo možné dosáhnout paralelizací na vícejádrovém CPU oproti sériovému výpočtu na CPU?

## **Odpověď:**

Maximální teoretické hranice –  $n$ -násobek při použití  $n$  jader.



# Dotaz oponenta II

Zaznamenal jste při srovnání statistických filtru na CPU a GPU pro různé datové typy kvalitativní změny ve výsledných datech?

## Odpověď:

Tyto kvalitativní rozdíly jsem nezkoumal. Z aritmetiky chyb popsané v kapitole 2.1 plyne, že tento rozdíl může být nejvýš o 1 (na škále 256), což je okem nerozlišitelné.